

## Experiência 6:

### Controle Não Co-aloado (non-collocated)

23 de outubro de 2024

## Conteúdo

<b>1</b>	<b>Controle não co-aloado</b>	<b>1</b>
1.1	Configurações adotadas . . . . .	2
<b>2</b>	<b>Detalhamento do projeto</b>	<b>7</b>
2.1	Sistemas: emulador, retilíneo e torcional . . . . .	7
2.1.1	Procedimento experimental . . . . .	10
2.2	Sistema: pêndulo invertido . . . . .	11
2.2.1	Procedimento experimental . . . . .	13
2.3	Sistema: Levitador Magnético . . . . .	14
2.3.1	Detalhamento . . . . .	15
2.3.2	Procedimento experimental . . . . .	17
<b>3</b>	<b>Pré-relatório da Experiência 7</b>	<b>18</b>
	<b>Referências</b>	<b>19</b>

## 1 Controle não co-aloado

Na Experiência 5 para os sistemas retilíneo e torcional, demonstrou-se que o controle co-aloado é efetivo no controle da posição do primeiro elemento (carro #1 ( $x_1$ ) ou disco #1 ( $\theta_1$ )), no qual simultaneamente, se aplica a ação de controle e se toma a medida de posição.

Observou-se que o controlador obtido através desta estratégia apresentava altos ganhos, e numa segunda etapa, quando adotou-se o ponto de vista do controle de posição do segundo elemento (carro #2 ( $x_2$ ) ou disco #2 ( $\theta_2$ )), a estratégia de alto ganho mostrou-se inadequada. Basicamente esta introduz oscilações no segundo elemento, e para correção desse efeito, verificou-se que o controle da posição do carro #2 ( $x_2$ ) ou do disco #2 ( $\theta_2$ ) através apenas da realimentação da variável  $x_1$  (ou  $\theta_1$ ) levava a uma estratégia de baixos ganhos, com o efeito de aumento do tempo de subida e do erro de regime da variável de posição.

Como forma de tentar eliminar as desvantagens acima, nesta experiência realiza-se o chamado *controle não co-allocado* dos sistemas retilíneo, torcional e levitador, e introduz-se esse experimento para o pêndulo invertido e o emulador industrial, utilizando a correia flexível. Medidas da variável de posição do segundo elemento são incorporadas ao sistema de controle, mas mantém-se a atuação localizada junto ao primeiro elemento. O controle neste caso pode ser bem mais complexo e para explorar as alternativas de um projeto aprimorado, utiliza-se a metodologia de ajuste de ganhos pelo Lugar das Raízes (*Root Locus*).

## 1.1 Configurações adotadas

A configuração adotada para os sistemas são as seguintes:

**Emulador:** Discos de atuação e de carga conectados:  $n_{pd} = 24$  e  $n_{pl} = 36$ , de tal forma que a relação ao total de engrenagens será de 4:1,

- 4 massas de 0,5 Kg dispostas a 10,0 cm do centro do disco de carga; nenhuma massa sobre o disco de atuação.

A conexão entre o dispositivo SR (*'speed reduction'*) e o disco de carga é feita através de uma *correia flexível* conforme o esboço da Figura 1. A correia incorpora ao sistema efeitos de mola ( $k$ ) e de amortecimento ( $c$ ) torcionais, e que dá origem a um sistema de 4ª ordem. Desprezando-se o efeito de amortecimento da correia, as funções de transferências de malha aberta associadas à configuração podem ser escritas como:

$$\frac{\Theta_1(s)}{T(s)} = k_{hw} \frac{N_1(s)}{D(s)}, \quad \frac{\Theta_2(s)}{T(s)} = \frac{N_2(s)}{D(s)},$$

sendo que  $\theta_1$  é o deslocamento angular do disco de atuação,  $\theta_2$  é o deslocamento angular do disco de carga,  $T$  é o torque aplicado ao disco #1, e

$$N_1(s) = J_\ell s^2 + c_\ell s + k, \quad N_2(s) = k/g_r$$

$$D(s) = J_d^* J_\ell s^4 + (c_\ell J_d^* + c_d J_\ell) s^3 + [(J_d^* + J_\ell g_r^{-2}) k + c_d c_\ell] s^2 + (c_d + c_\ell g_r^{-2}) k s.$$

Os parâmetros acima com os correspondentes valores numéricos são dados:

$J_d$	$= 4,07 \times 10^{-4} \text{ Kg-m}^2$	momento de inércia total do disco de atuação,
$J_{d\ell}$	$= 6,25 \times 10^{-3} \text{ Kg-m}^2$	momento inércia do disco de carga,
$m_{w\ell}$	$= 4 \times 0,5 \text{ Kg}$	massa total sobre o disco de carga,
$r_{w\ell}$	$= 0,1 \text{ m}$	distância das massas ao centro do disco de carga,
$r_{mw}$	$= 0,025 \text{ m}$	raio das massas sobre o disco de carga,
$J_\ell$	$= J_{d\ell} + m_{w\ell}(r_{w\ell}^2 + r_{mw}^2/2)$	momento de inércia total no disco de carga,
$J_p$	$= 7,8 \times 10^{-5} \text{ Kg-m}^2$	momento de inércia do pino SR,
$g_r$	$= 4, \quad g'_r = 2$	relação de velocidades 4:1 <sup>†</sup>
$k$	$= 8,45 \text{ N-rd}$	constante elástica da correia flexível,
$k_{hw}$	$= 5,76$	ganho de hardware,
$c_d$	$= 7,38 \times 10^{-4} \text{ N-m/rd}$	coeficiente de atrito no disco de atuação,
$c_\ell$	$= 5,0 \times 10^{-2} \text{ N-m/rd}$	coeficiente de atrito no disco de carga,
$J_d^*$	$= J_d + J_p(g'_r)^{-2}$	inércia total no disco de atuação,

Note que  $T(s)$  é o torque aplicado, mas está expresso em unidades apropriadas ao uso no ECP, em vista da constante  $k_{hw}$ .

**Retilíneo** A configuração do sistema é a mesma da Experiência 5: dois carros conectados por uma mola de dureza média, com quatro pesos adicionais de 0,5 Kg dispostos sobre cada carro (Figura 1) As funções de transferência de malha aberta associadas à configuração são as

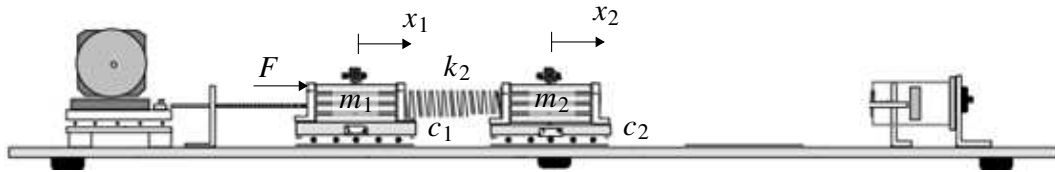


Figura 1: Sistema com dois graus de liberdade.

seguintes:

$$\frac{X_1(s)}{T(s)} = k_{hw} \frac{N_1(s)}{D(s)}, \quad \frac{X_2(s)}{X_1(s)} = \frac{N_2(s)}{N_1(s)},$$

onde  $x_1$  é o deslocamento linear do carro #1,  $x_2$  é deslocamento linear do carro #2,  $F$  é a força aplicada ao carro #1, e

$$N_1(s) = m_2 s^2 + c_2 s + k, \quad N_2(s) = k$$

$$D(s) = m_1 m_2 s^4 + (c_1 m_2 + c_2 m_1) s^3 + [(m_1 + m_2) k + c_1 c_2] s^2 + (c_1 + c_2) k s.$$

Os parâmetros acima com os correspondentes valores numéricos são dados:

$m_{c1}$	$= 0,778 \text{ [Kg]},$	$m_{c2} = 0,582 \text{ [Kg]}$	massas dos carros,
$m_1$	$= m_{c1} + 2,0 \text{ [Kg]},$	$m_2 = m_{c2} + 2,0 \text{ [Kg]}$	massas dos carros carregados,
$c_1$	$= 3,91 \text{ [N/(m/s)],}$	$c_2 = 2,36 \text{ [N/(m/s)]}$	coeficientes de atrito dos carros,
$k$	$= 338 \text{ [N/m]}$		constante de mola,
$k_{hw}$	$= 14732$		ganho de hardware.

<sup>†</sup> Com engrenagens de 24 dentes na atuação e 36 na carga.

Note que  $F(s)$  é a força aplicada, mas está expressa em unidades apropriadas ao uso no ECP, em vista da constante  $k_{hw}$ .

**Torcional** A configuração do sistema é a mesma da Experiência 5: dois discos conectados pela mola torcional, com dois pesos adicionais de 0,5 Kg dispostos sobre cada disco (Figura 2) As funções de transferência de malha aberta associadas à configuração são as seguintes:

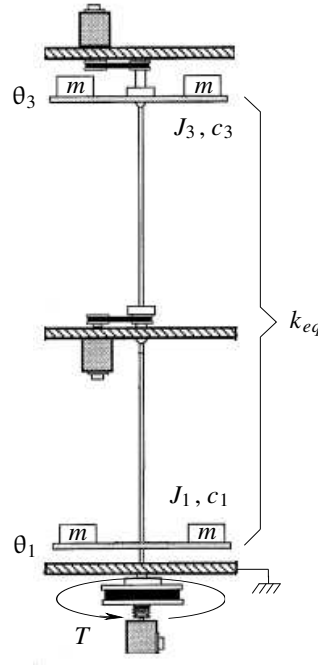


Figura 2: Configuração do sistema.

$$\frac{\Theta_1(s)}{T(s)} = k_{hw} \frac{N_1(s)}{D(s)}, \quad \frac{\Theta_3(s)}{\Theta_1(s)} = \frac{N_2(s)}{N_1(s)},$$

onde  $\theta_1$  é o deslocamento angular do disco #1,  $\theta_3$  é deslocamento angular do disco #3,  $T$  é o torque aplicado ao disco #1, e

$$N_1(s) = J_3 s^2 + c_3 s + k_1, \quad N_2(s) = k_{eq}$$

$$D(s) = J_1 J_3 s^4 + (c_1 J_3 + c_3 J_1) s^3 + [(J_1 + J_3) k_{eq} + c_1 c_3] s^2 + (c_1 + c_3) k_{eq} s.$$

Os parâmetros acima com os correspondentes valores numéricos são dados:

$J_{d1}$	$= 2,38 \times 10^{-3} \text{ [Kg-m}^2\text{]}$	momento de inércia do disco #1,
$J_{d3}$	$= 1,87 \times 10^{-3} \text{ [Kg-m}^2\text{]}$	momento de inércia dos discos #3,
$m_w$	$= 1 \text{ [Kg]}$	massa total sobre os discos,
$r_w$	$= 0,09 \text{ [m]}$	distância das massas ao centro dos discos,
$r_{mw}$	$= 0,025 \text{ [m]}$	raio das massas sobre os discos,
$J_i$	$= J_{di} + m_w (r_w^2 + r_{mw}^2/2)$	momento de inércia total no disco $i = 1$ ou $i = 3$ ,
$c_1$	$= 7,64 \times 10^{-3} \text{ [Nm/(rd/s)]}$	coeficiente de atrito viscoso do disco #1,
$c_3$	$= 1,33 \times 10^{-3} \text{ [Nm/(rd/s)]}$	coeficiente de atrito viscoso do disco #3,
$k_{eq}$	$= 1,37 \text{ [N-rd]}$	constante torcional da mola,
$k_{hw}$	$= 17,6 \text{ [Nm/rd]}$	ganho de hardware.

Note que  $T(s)$  é o torque aplicado, mas está expresso em unidades apropriadas ao uso no ECP, em vista da constante  $k_{hw}$ .

**Pêndulo invertido** Este modelo é obtido diretamente das equações de balanço de forças, que utilizamos de forma ligeiramente diferente. As equações são as seguintes:

$$\begin{aligned} (m_1 s^2 + c_1 s) X(s) + (m_1 \ell_0 s^2 - m_1 g) \Theta(s) &= F(s) \\ [J^* s^2 + c_r s - (m_1 \ell_0 + m_2 \ell_c) g] \Theta(s) + (m_1 \ell_0 s^2 - m_1 g) X(s) &= 0 \end{aligned} \quad (1)$$

vide pg. 54 do manual [1]. Fica a cargo do aluno verificar que as equações linearizadas utilizadas até aqui são equivalentes às equações em (1). Os parâmetros do modelo têm os seguintes valores:

$m_1$	$= 0,238 \text{ [Kg]}$	massa da haste deslizante com os pesos circulares,
$m_{2o}$	$= 0,785 \text{ [Kg]}$	massa da haste principal,
$m_{w2}$	$= 1,0 \text{ [Kg]}$	massa do contrapeso,
$m_2$	$= m_{2o} + m_{w2} \text{ [Kg]}$	
$\ell_o$	$= 0,330 \text{ [m]}$	distância do $c_m^\dagger$ da haste deslizante,
$\ell_{co}$	$= 0,071 \text{ [m]}$	distância do $c_m^\dagger$ da haste principal,
$\ell_{w2}$	$= -0,1385 \text{ [m]}$	distância do $c_m^\dagger$ do contrapeso $\ell_t = 10 \text{ cm}$ (estável),
$ou$	$= -0,1085 \text{ [m]}$	distância do $c_m^\dagger$ do contrapeso $\ell_t = 7 \text{ cm}$ (instável),
$\ell_c$	$= (m_{w2} \ell_{w2} + m_{2o} \ell_{co}) / m_2 \text{ [m]}$	
$J_0^*$	$= 0,0243 \text{ [Kg-m}^2\text{]}$	mom. inércia do pêndulo (s/ haste des. e contrapeso),
$J^*$	$= J_0^* + m_1 \ell_o^2 + m_{w2} \ell_{w2}^2$	momento de inércia total,
$c_1$	$= 0,2254 \text{ [Ns/m]}$	coeficiente de atrito viscoso da haste deslizante,
$c_r$	$= 1,44 \times 10^{-2} \text{ [Nm/rd]}$	coeficiente de atrito viscoso da haste principal,
$k_a$	$= 2546 \text{ [counts/rd]}$	ganho do encoder #1,
$k_x$	$= 50200 \text{ [counts/m]}$	ganho do encoder #2,

---

<sup>†</sup> Distâncias dos respectivos centros de massa orientadas a partir do pivô do pêndulo.

Considere a notação:

$$\begin{aligned} D_x(s) &= m_1 s^2 + c_1 s \\ D_\theta(s) &= J^* s^2 + c_r s - (m_1 \ell_0 + m_2 \ell_c) g \\ N_a(s) &= m_1 \ell_0 s^2 - m_1 g \end{aligned} \quad (2)$$

De (1) e (2), podemos escrever

$$X(s) = \frac{1}{D_x(s)} (F(s) - N_a(s) \Theta(s)), \quad \Theta(s) = -\frac{N_a(s)}{D_\theta(s)} X(s)$$

Substituindo  $\Theta(s)/X(s)$  na primeira equação acima, temos que  $(D_x D_\theta - N_a^2) X = D_\theta F$ , e assim

$$\frac{X(s)}{F(s)} = \frac{D_\theta(s)}{D(s)}, \quad \frac{\Theta(s)}{X(s)} = -\frac{N_a(s)}{D_\theta(s)} \quad (3)$$

$$D(s) = D_x(s) D_\theta(s) - N_a(s)^2. \quad (4)$$

O *controle não co-allocado* baseia-se na existência de uma malha interna de controle PD do deslocamento  $x_1$ . O deslocamento  $x_1$  é a variável que exerce a ação sobre a variável de saída  $\theta$ , por médio da interação entre a haste deslizante e a haste rotacional. Conforme deduzido acima, podemos escrever a função de transferência  $\Theta(s)/F(s)$  na forma

$$\frac{\Theta(s)}{F(s)} = \frac{N_1(s)}{D(s)} \cdot \frac{N_2(s)}{N_1(s)},$$

onde  $D(s)$  é dado por (4) e

$$N_1(s) = k_s k_f k_x D_\theta(s) = k_s k_f k_x [J^* s^2 + c_r s - (m_1 \ell_0 + m_2 \ell_c) g],$$

$$N_2(s) = -k_s k_f k_a N_a(s) = -k_s k_f k_a (m_1 \ell_0 s^2 - m_1 g)$$

de acordo com as expressões (2) e (3). Note que  $F(s)$  tem sentido de força aplicada, mas está expressa em unidades apropriadas ao uso no ECP, em vista das constantes  $k_s$ ,  $k_f$ ,  $k_x$  e  $k_a$ .

**Levitador Magnético** A configuração do sistema é a mesma da Experiência 5: dois discos magnéticos de mesma massa, posicionados de forma a se repelirem, vide Fig. 3. As funções de transferência de malha aberta associadas à configuração são as seguintes:

$$\frac{Y_1(s)}{F(s)} = k_{sys} \frac{N_1(s)}{D(s)}, \quad \frac{Y_2(s)}{Y_1(s)} = \frac{N_2(s)}{N_1(s)},$$

onde  $Y_1$  é o deslocamento linear do disco #1,  $Y_2$  é deslocamento linear do disco #2,  $F$  é a força aplicada ao disco #1, e onde

$$\begin{aligned} N_1(s) &= m_2 s^2 + c_2 s + k_{12}, & N_2(s) &= k_{12} \\ D(s) &= m^2 s^4 + 2 c m s^3 + (2 m k_{12} + c^2) s^2 + 2 c k_{12} s. \end{aligned}$$

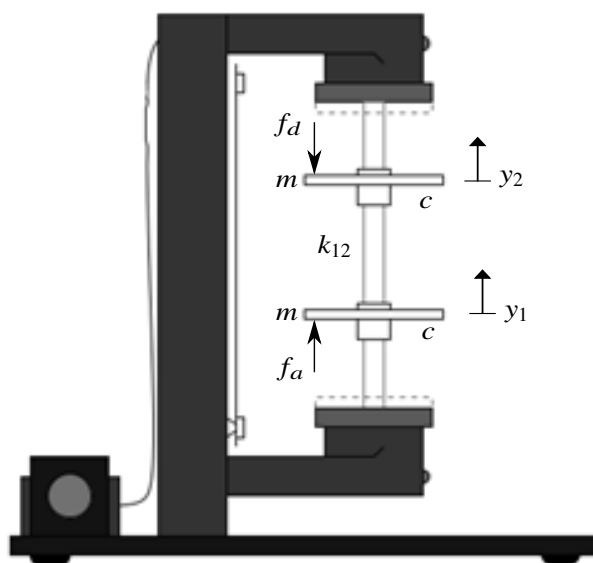






Figura 3: Sistema com dois graus de liberdade e compensação da força do atuador.

Note que  $F(s)$  tem sentido de força aplicada, mas está expressa em unidades apropriadas ao uso no ECP, em vista da constante  $k_{sys}$ .

Os parâmetros acima com os correspondentes valores numéricos são dados:

$m$	$= 0,123$ [Kg]	massa dos discos,
$c$	$= 0,45$ [N/(m/s)]	coeficientes de atrito dos discos,
$k_{12}$	$= 44,1$ [N/m]	constante de mola,
$k_{sys}$	$= 100$	ganho do sistema.

## 2 Detalhamento do projeto

Nota: Os símbolos , ,  e  indicam a necessidade de produção de um gráfico, desenvolvimento teórico, diagrama simulink® e script Matlab™, respectivamente.

### 2.1 Sistemas: emulador, retilíneo e torcional

Verifica-se pela descrição acima das configurações adotadas, que os três sistemas são análogos, isto é, têm funções de transferências exatamente com o mesmo número de polos e zeros e poderiam ter comportamento idêntico caso os parâmetros envolvidos pudessem ser escolhidos de forma a se obter os mesmos polinômios. Assim, para o fim de descrição do projeto, podemos escolher um deles ao acaso.

O controle não co-allocado baseia-se na existência de uma malha interna responsável pelo controle da variável  $x_1$  (ou  $\theta_1$ ) e o ajuste do amortecimento do sistema controlado. De fato, é

possível reescrever a função de transferência entre  $x_2$  e a força  $f$  na forma

$$\frac{X_2(s)}{F(s)} = k_{sys} \frac{N_1(s)}{D(s)} \cdot \frac{N_2(s)}{N_1(s)},$$

o que permite a adoção do esquema de controle representado na figura 4.

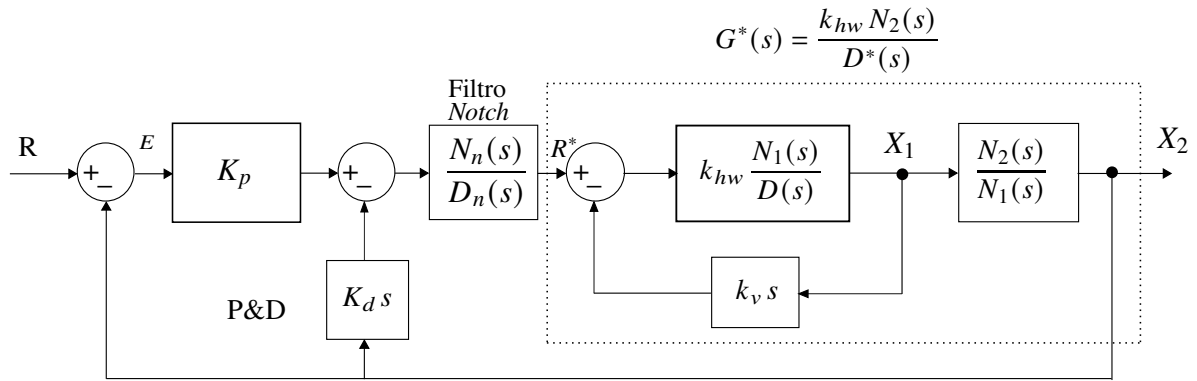


Figura 4: Diagrama para o controle *não co-allocado*.

O projeto do sistema de controle em malha fechada representado na Figura 4 já descrito no pré-relatório, será realizado da seguinte maneira:

- Calcula-se inicialmente o ganho  $k_v$ , utilizando-se o lugar das raízes (*root locus*) da malha interna, de modo que o amortecimento dos polos em malha fechada de  $X_1(s)/R^*(s)$  seja o maior possível;
- Obtém-se a função de transferência  $G^*(s)$ , demarcada pela linha pontilhada na figura 4;
- Calculam-se os parâmetros do filtro *notch*  $N_n(s)/D_n(s)$  de modo que:
  - os dois zeros do filtro cancelem dois polos de  $G^*(s)$  (tipicamente polos pouco amortecidos), isto é, raízes de  $D^*(s)$  complexas conjugadas.
  - o filtro possua dois pares de polos complexos conjugados de frequência natural  $f_{n1}$  e  $f_{n2}$  respectivamente, e  $\xi = \sqrt{2}/2$  para ambos os pares<sup>1</sup>;
  - o coeficiente do termo de maior grau do polinômio  $D_n(s)$  deve ser 1 (polinômio *mônico*) e o ganho estático (DC) da função de transferência do filtro deve ser unitário;
- Os parâmetros do controlador P&D devem ser obtidos com o auxílio do diagrama do lugar das raízes *root locus*, adotando-se o critério de máximo amortecimento para os polos dominantes em malha fechada.
- A implementação do filtro *notch* e controlador P&D será realizada utilizando a forma geral **General Form** do software do ECP, com a utilização dos polinômios  $t(s)$ ,  $s(s)$  e  $r(s)$ .

<sup>1</sup>Valores emulador:  $f_{n1} = 5$  e  $f_{n2} = 8$  [Hz]; retilíneo:  $f_{n1} = 5$  e  $f_{n2} = 8$  [Hz]; torcional  $f_{n1} = 5$  e  $f_{n2} = 11$  [Hz].



Considere os passos a seguir para a realização do projeto do controle não co-allocado. Adote os mesmos valores numéricos utilizados na Experiência 5.

### Projeto da realimentação do carro #1 (ou disco #1):

Escreva um programa Matlab para executar os seguintes passos **(S)**:

1. Implemente as funções de transferências da planta utilizando os valores numéricos para definir  $X_1(s)/R^*(s)$  (ou  $\Theta_1(s)/R^*(s)$ ),
2. Determine através do lugar das raízes *root locus* **(g)** o valor de  $k_v$  que forneça o máximo amortecimento,
3. Implemente  $k_v$  e determine os polos da função de transferência interna  $G^*(s)$ . Selecione os polos complexos conjugados desta f.t., denominando-os  $p_1$  e  $p_2$ .

### Projeto do filtro notch:

1. Projete o filtro *notch* cujos zeros sejam  $p_1$  e  $p_2$ , e os polos especificados no item **c.**,
2. Associe  $G^*(s)$  em cascata ao filtro projetado.

### Projeto do controlador P&D:

1. Determine através do lugar das raízes **(g)** o valor do ganho  $K_d$  de forma a se obter o máximo amortecimento para os polos dominantes da função de transferência da saída  $X_2(t)$ ,
2. Implemente o valor de  $K_d$  e determine através do lugar das raízes **(g)** o valor do ganho  $K_p$  que tenha o mínimo *tempo de estabelecimento*.

### Implementação no software ECP:

O diagrama da Fig.4 não pode ser implementado diretamente nesta forma. Mostre através de operações algébricas no diagrama de blocos, que o diagrama da Fig.5 é equivalente ao da Fig.4. Com essa modificação ao o controlador P&D mais filtro *notch* serão implementados na malha do *loop 1*.

O bloco correspondente a  $K_p G_{notch}(s)$  é implementado através dos polinômios  $t(s)$  (numerador) e  $r(s)$  (denominador). O bloco  $(K_p + K_d s) G_{notch}(s)$  é implementado através dos polinômios  $s(s)$  (numerador) e  $r(s)$  (denominador). Denotando-se respectivamente o numerador e o denominador do filtro *notch* por  $n_2 s^2 + n_1 s + n_0$  e  $s^4 + d_3 s^3 + d_2 s^2 + d_1 s + d_0$ , temos as seguintes relações entre os coeficientes dos polinômios (implemente essas relações no script):

$$\begin{array}{lll}
 t_0 = n_0 K_p & s_0 = n_0 K_p & r_0 = d_0 \\
 t_1 = n_1 K_p & s_1 = n_0 K_d + n_1 K_p & r_1 = d_1 \\
 t_2 = n_2 K_p & s_2 = n_1 K_d + n_2 K_p & r_2 = d_2 \\
 & s_3 = n_2 K_d & r_3 = d_3 \\
 & & r_4 = 1
 \end{array} \quad (5)$$

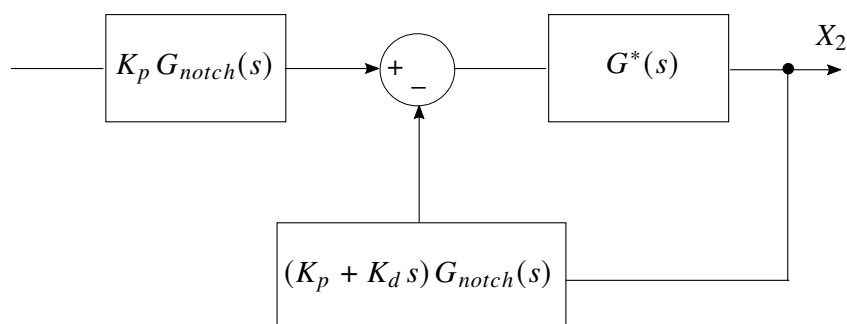





Figura 5: Representação do filtro *notch* + P&D implementado na malha do *loop 1*.

### 2.1.1 Procedimento experimental

O procedimento deve ser seguido para os sistemas: emulador, retilíneo e torcional. O roteiro faz referência ao "elemento #1", ao invés de carro #1 (ou disco #1), bem como usa "elemento #2" da mesma forma.

**Importante:** No emulador industrial, evitar tensionar demais a correia flexível ao posicioná-la no equipamento.

1. Calcule o ganho  $k_v$ , os parâmetros do filtro *notch* e do controlador P&D conforme descrito na seção anterior;
2. Implemente o ganho  $k_v$  como o coeficiente  $f_1$  da opção **General Form** e sete o tempo **Ts=0.002652 s**. Antes de sair da caixa de diálogo, implemente o controlador, e certifique-se de selecionar **Encoder #1** para a realimentação do **Loop #3** e **Encoder #2** ou **Encoder #3** (dependendo do equipamento), para a realimentação do **Loop #1**;
3. Implemente o filtro *notch* e o controlador P&D na **General Form** conforme o entendimento do diagrama da figura 5 e das identidades apresentadas em (5), com os valores calculados dos coeficientes  $t_0, t_1, t_2, s_0, s_1, s_2, s_3$  e  $r_0, r_1, r_2, r_3, r_4$ . Mantenha o polinômio  $r(s)$  mônico ( $r_4 = 1$ ) e nulos os demais coeficientes de maior ordem destes polinômios. Tome cuidado de nunca exceder os valores  $K_p = 0.1$  e  $K_d = 0.02$ . Implemente o controlador e excite manualmente o modo oscilatório do sistema através do elemento #2 e observe o amortecimento introduzido pela realimentação de velocidade. Observe o desempenho do sistema para entradas em degrau de amplitude **6000 counts**, **dwel time 1500 ms**, e entradas em rampa.
4. Tente fazer um ajuste dos parâmetros do controlador P&D iterativamente verificando se é possível melhorar o comportamento obtido do projeto analítico, sempre utilizando as identidades obtidas em (5). Mantenha a coerência com a escolha feita no item 3.
5. Grave algumas respostas ao degrau  e a rampa  e comente sobre os resultados obtidos no experimento .
6. Desloque os dois elementos manualmente e note a servo-rigidez estática relativa do elemento #2 (carro #2 ou disco #3) sob a ação do controlador. Sendo  $G_1$  a f.t. em malha

aberta entre a entrada de distúrbio ( $f_d$ ) (ou  $t_d$ ) e a saída ( $x_2$ ) (ou  $\theta_3$ ) e  $G_2$  as demais f.t.'s do *loop* de realimentação agrupadas, lembre-se que a servo-rigidez estática é definida por

$$\text{S-RE} = \left( \frac{X_2(s)}{F_d(s)} \right)^{-1} \Big|_{s=0} = \left( \frac{G_1(0)}{1 + G_1(0)G_2(0)} \right)^{-1}$$

**Importante:** No emulador industrial, retire a correia flexível das polias ao término da experiência para evitar danos por tensionamento.

## 2.2 Sistema: pêndulo invertido

O projeto de controle em malha fechada apresentado na Fig. 6 já descrito no pré-relatório será realizado da seguinte maneira:

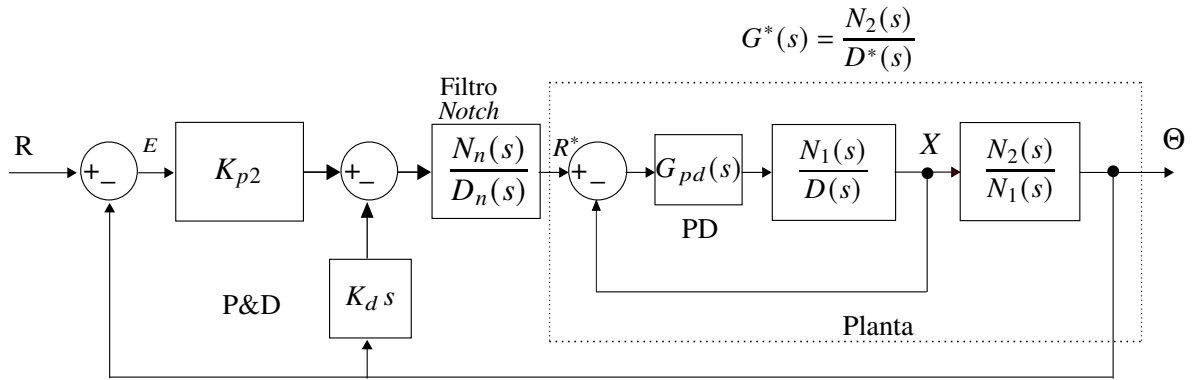


Figura 6: Diagrama para o controle *não co-allocado*.

- O controlador PD da malha interna tem a forma  $G_{pd}(s) = K_{p1}(1 + \tau s)$ , com  $\tau = 0,0319$ , isto é, o zero do controlador PD é fixo<sup>2</sup>. Calcula-se inicialmente o ganho  $K_{p1}$  do controlador PD interno, utilizando-se o lugar das raízes (*root locus*) de modo a estabilizar a malha interna;
- Obtém-se a função de transferência  $G^*(s)$ , representada pela linha pontilhada na Fig.6;
- Calculam-se os parâmetros do filtro *notch*  $N_n(s)/D_n(s)$  de modo que:
  - um zero do filtro cancele o polo dominante. Caso os polos dominantes sejam complexos conjugados, adote o zero negativo e igual ao módulo desses.
  - dois outros zeros do filtro cancelem dois polos de  $G^*(s)$  (tipicamente polos pouco amortecidos), isto é, raízes de  $D^*(s)$  complexas conjugadas com parte imaginária grande.

<sup>2</sup>O valor de  $\tau$  escolhido corresponde aproximadamente ao valor  $K_d/K_p$  para o ajuste de comportamento criticamente amortecido da haste deslizante adotado nos experimentos anteriores.

3. o filtro possua dois pares de polos reais parametrizados por  $f_{n1} = 5$  Hz e  $f_{n2} = 11$  Hz (frequência natural) respectivamente, e  $\xi = 2$  (fator de amortecimento) para ambos os pares.
4. o coeficiente do termo de maior grau do polinômio  $D_n(s)$  deve ser 1 (polinômio *mônico*) e o ganho estático (DC) da função de transferência do filtro deve ser unitário;
- d. Os parâmetros do controlador P&D da malha externa devem ser obtidos com o auxílio do diagrama do lugar das raízes *root locus*, por tentativas.
- e. A implementação do filtro *notch* e controlador P&D será realizada utilizando a forma geral General Form do software do ECP, com a utilização dos polinômios  $t(s)$ ,  $s(s)$  e  $r(s)$ .

Considere os passos a seguir para a realização do projeto do *controle não co-allocado*. Adote os mesmos valores numéricos utilizados nas experiências anteriores.

### Projeto da realimentação da haste deslizante:

Escreva um programa Matlab para executar os seguintes passos:

1. Implemente as funções de transferências da planta utilizando os valores numéricos para definir  $X(s)/R^*(s)$ ,
2. Determine através do lugar das raízes *root locus* o valor de  $K_{p1}$  do controlador PD interno, de modo a estabilizar essa malha, fazendo que os polos dominantes sejam rápidos, porém reais,
3. Implemente  $K_{p1}$  e determine os polos da função de transferência interna  $G^*(s)$ . Selecione o polo dominante  $p_1$  e os polos complexos conjugados desta f.t. com parte imaginária grande, denominando-os  $p_2$  e  $p_3$ .

### Projeto do filtro notch:

1. Projete o filtro *notch* cujos zeros sejam  $p_1$ ,  $p_2$  e  $p_3$ , e os polos especificados no item c.,
2. Associe  $G^*(s)$  ao filtro projetado.

### Projeto do controlador P&D:

1. Determine através do lugar das raízes o valor do ganho  $K_d$  de forma que a parte imaginária dos polos que caminham para o semi-plano direito seja ligeiramente superior à parte real desses polos.
2. Implemente o valor de  $K_d$ , e determine através do lugar das raízes o valor do ganho  $K_{p2}$  utilizando o mesmo critério para o ajuste do ganho  $K_d$  descrito no item anterior.

3. Utilize a resposta ao degrau do sistema em malha fechada com  $\theta(t)$  como saída, como critério para verificação da adequação do ajuste.

### Implementação no software ECP:

O diagrama da Fig.6 não pode ser implementado diretamente nesta forma. Mostre através de operações algébricas no diagrama de blocos, que o diagrama da Fig.7 é equivalente ao da Fig.6. Com essa modificação ao o controlador P&D mais filtro *notch* serão implementados na malha do *loop 1*.

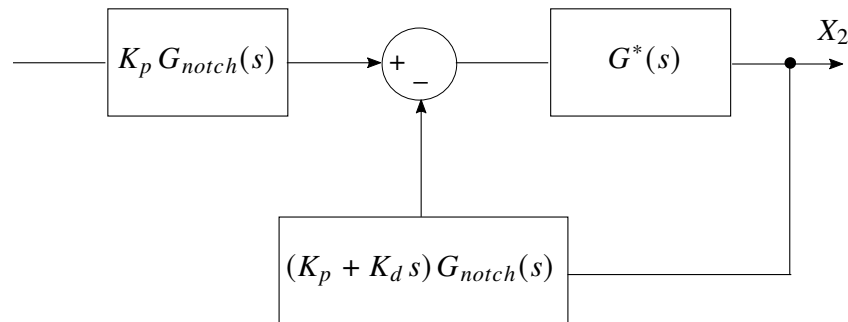


Figura 7: Representação do filtro *notch* + P&D implementado na malha do *loop 1*.

O bloco correspondente a  $K_p G_{notch}(s)$  é implementado através dos polinômios  $t(s)$  (numerador) e  $r(s)$  (denominador). O bloco  $(K_p + K_d s) G_{notch}(s)$  é implementado através dos polinômios  $s(s)$  (numerador) e  $r(s)$  (denominador). Denotando-se respectivamente o numerador e o denominador do filtro *notch* por  $n_3 s^3 + n_2 s^2 + n_1 s + n_0$  e  $s^4 + d_3 s^3 + d_2 s^2 + d_1 s + d_0$ , temos as seguintes relações entre os coeficientes dos polinômios:

$$\begin{array}{lll}
 t_0 = n_0 K_p & s_0 = n_0 K_p & r_0 = d_0 \\
 t_1 = n_1 K_p & s_1 = n_0 K_d + n_1 K_p & r_1 = d_1 \\
 t_2 = n_2 K_p & s_2 = n_1 K_d + n_2 K_p & r_2 = d_2 \\
 t_3 = n_3 K_p & s_3 = n_2 K_d + n_3 K_p & r_3 = d_3 \\
 & s_4 = n_3 K_d & r_4 = 1
 \end{array} \quad (6)$$

#### 2.2.1 Procedimento experimental

1. Calcule o ganho  $K_{p1}$ , os parâmetros do filtro *notch* e do controlador P&D conforme descrito na seção anterior;
2. Implemente o ganho  $K_{p1}$  como o coeficiente  $e_0$  e o ganho  $K_{p1}\tau$  como o coeficiente  $e_1$  da opção **General Form** usando **Ts=0.001768 s**. Certifique-se que a malha de realimentação da haste deslizante está fechada, fazendo  $i_0 = 1$ , e selecione **Encoder #1** para a realimentação do **Loop #1** e **Encoder #2** para a realimentação do **Loop #2**;
3. Implemente o filtro *notch* e o controlador P&D na **General Form** conforme o entendimento do diagrama da figura 7 e das identidades apresentadas em (6), com os valores

calculados dos coeficientes  $t_0, t_1, t_2, t_3, s_0, s_1, s_2, s_3, s_4$  e  $r_0, r_1, r_2, r_3, r_4$ . Mantenha o polinômio  $r(s)$  mônico ( $r_4 = 1$ ) e nulo os coeficientes de maior ordem destes polinômios;

4. Faça a coleta de dados de **Encoder #1**, **Encoder #2** e **Commanded Position** através do menu **Set-up Data Acquisition** a cada 2 períodos de amostragem. No menu **Command**, selecione **Trajectory-Step-Set-up**. selecione **Closed Loop Step** e atribua amplitude de **500** counts, duração de **2500** ms e **1** repetição. Retorne ao *Background Screen* clicando **OK** sucessivamente. O controlador está agora em posição de comandar um degrau de **500** counts ( $\approx 11$  graus) para frente e para trás com *dwell time* de **2.5** s;
5. Volte à caixa de diálogo **Control Algorithm** e selecione **Implement Algorithm**. Se o pêndulo reagir violentamente, você pode ter implementado um controlador instável ou atribuído valores incorretos aos coeficientes do algoritmo de controle. Neste caso, refaça os passos anteriores;
6. Selecione **Execute** no menu **Command** e, mantendo-se afastado do mecanismo acione **Run**. Deve-se observar um deslocamento rápido de pêndulo;
7. Plote (exporte) **Encoder #1**. Observe o movimento inicial do pêndulo contrário à posição comandada, característico de *sistemas de fase não-mínima*;
8. Tente fazer um ajuste dos parâmetros do controlador P&D iterativamente verificando se é possível melhorar o comportamento obtido do projeto analítico, sempre utilizando as identidades obtidas em (6);
9. Grave algumas respostas ao degrau e comente sobre os resultados obtidos no experimento.

## 2.3 Sistema: Levitador Magnético

Adotaremos o esquema de controle representado na Fig. 8 e a determinação dos controladores será feito da seguinte maneira:

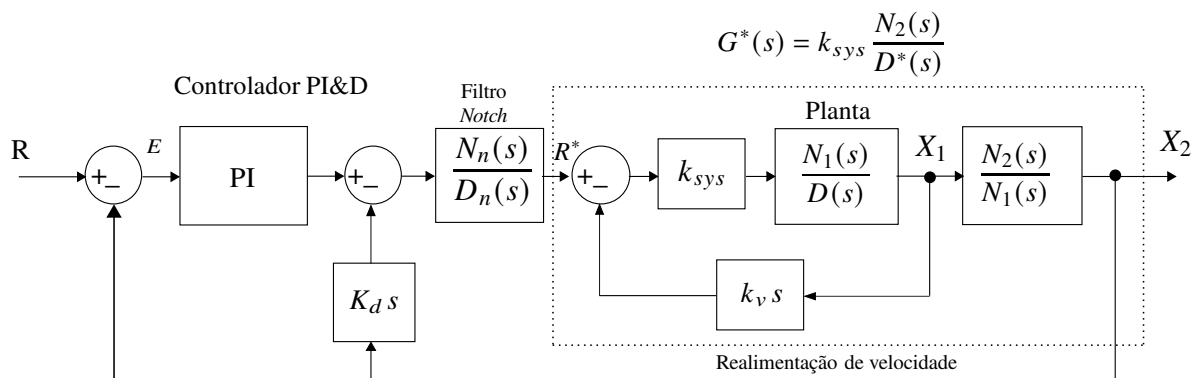


Figura 8: Diagrama para o controle *não co-allocado*.

- a. Calcula-se inicialmente o ganho  $k_v$ , utilizando-se o lugar das raízes (*root locus*) da malha interna, de modo que ele tenha o maior valor possível tal que o amortecimento dos polos em malha fechada de  $Y_1(s)/R^*(s)$  tenha valor 0,2;
- b. Obtém-se a função de transferência  $G^*(s)$ , representada pela linha pontilhada na Fig.8;
- c. Calculam-se os parâmetros do filtro *notch*  $N_n(s)/D_n(s)$  de modo que:
  1. os dois zeros do filtro cancelem dois polos de  $G^*(s)$  (tipicamente polos pouco amortecidos), isto é, raízes de  $D^*(s)$  complexas conjugadas.
  2. o filtro tenha um par de polos complexos conjugados de frequência natural  $f_n = 8$  Hz e  $\xi = \sqrt{2}/2$ .
  3. o coeficiente do termo de maior grau do polinômio  $D_n(s)$  deve ser 1 (polinômio *mônico*) e o ganho estático (DC) da função de transferência do filtro deve ser unitário; Considere assim a seguinte representação para o filtro *notch* a ser utilizado.

$$G_{notch}(s) = \frac{b_2 s^2 + b_1 s + b_0}{s^2 + a_1 s + a_0}$$

Então  $a_0 = b_0$ ;

- d. Os parâmetros do controlador PI&D devem ser obtidos com o auxílio do diagrama do lugar das raízes *root locus*, adotando-se os critérios especificados na seção Detalhamento.

### 2.3.1 Detalhamento

Considere os passos a seguir para a realização do projeto do controle *não co-alocado*. Adote os mesmos valores numéricos utilizados na Experiência 5.

#### Projeto da realimentação do disco 1:

Escreva um programa Matlab para executar os seguintes passos:

1. Implemente as funções de transferências da planta utilizando os valores numéricos para definir  $Y_1(s)/R^*(s)$ ,
2. Determine através do lugar das raízes *root locus* o valor de  $k_v$  de acordo com o especificado no item a.,
3. Implemente  $k_v$  e determine os polos da função de transferência interna  $G^*(s)$ . Selecione os polos complexos conjugados desta f.t., denominando-os  $p_1$  e  $p_2$ .

#### Projeto do filtro notch:

1. Projete o filtro *notch* cujos os zeros sejam  $p_1$  e  $p_2$ , e os polos especificados no item c.,
2. Associe  $G^*(s)$  ao filtro projetado.

**Projeto do controlador PI&D:**

1. Determine o ganho  $K_d$  de forma que os polos dominantes apresentem frequência natural em torno de 50 rd/s e fator de amortecimento 0,56,
2. A parte PI do controlador tem a seguinte função de transferência:

$$G_{PI}(s) = K_p \left( \frac{1}{1 + \tau s} \right)$$

Assumindo que  $\tau = 1,5$ , a determinação do ganho  $K_p$  deve ser obtida com o auxílio do diagrama do lugar das raízes *root locus*, adotando-se o critério de amortecimento em torno de 0,6 e frequência natural em torno de 40 rd/s;



### 2.3.2 Procedimento experimental

1. Verifique se o sistema está de acordo com a configuração descrita nesta apostila, isto é, operando com dois discos;

#### Inicialização do Levitador

Este procedimento se refere ao experimento com dois discos magnético montados.

- (a) No menu **File** carregue os parâmetros de calibração do sensor. Através da opção **Load Settings** carregue o arquivo Cal.cfg que se encontra na pasta /ea722/programas. Entre no menu **Setup, Sensor Calibration**, selecione a opção **Calibrate Sensor**  $Y_{cal} = a/Y_{raw} + f/\text{sqrt}(Y_{raw}) + g + h * Y_{raw}$  e habilite a opção **Apply Thermal Compensation**;
- (b) Entre na caixa de diálogo **Control Algorithm** e verifique se **Ts = 0.001768s**. Carregue o algoritmo Cal\_2d.alg que se encontra na pasta /ea722/programas através da opção **Load from disk**. Em seguida selecione **Implement Algorithm**. O disco irá se mover para a altura de aproximadamente 1,0 [cm] mantendo-se nesta posição;
- (c) Verifique se o **Sensor 1 Pos** está indicando o valor de  $10000 \pm 500$  [counts]. Caso isso não ocorra, entre no menu **Setup, Sensor Calibration**, selecione a opção **Calibrate Sensor** e ajuste o termo  $g$  da calibração para que a leitura do **Sensor 1 Pos** no fundo de tela seja próximo 10000 [counts];
- (d) Idem para o **Sensor 2 Pos**, calibrando-o para  $54000 \pm 500$  [counts];
- (e) Selecione **Execute** no menu **Command** e em seguida **Trajectory #2 only**; depois plote as variáveis **Commanded Position** e **Variable Q10** e **Variable Q13**. Verifique se a trajetória da variável Q10 e Q13 apresentam pelo menos duas oscilações acima do valor de regime. Caso isso não ocorra, solicite a presença do professor.

Após a conclusão deste procedimento, clique no botão **Abort Control** no fundo de tela.

2. Entre na caixa de diálogo **Control Algorithm** e defina **Ts=0.001768s**. Para realização dos ensaios carregue o algoritmo exp6.alg que se encontra na pasta da sua turma, através da opção **Load from disk**. Selecione **Edit Algorithm** para introduzir os valores calculados de  $k_v$ ,  $K_p$  e  $K_d$  e o filtro *notch* no programa, de acordo com a convenção de parâmetros utilizada;
3. Através da caixa de diálogo **Set-up Data Acquisition** do menu **Data**, ajuste a coleta dos dados de **Command Position**, incluindo também a coleta das seguintes variáveis:
  - posição  $y_1$  relativa ao ponto de equilíbrio inicial. No programa, variável delta\_y1;
  - esforço incremental de controle. No programa é a variável delta\_u;
  - posição  $y_2$  relativa ao ponto de equilíbrio inicial. No programa, variável delta\_y2.

Para isto, verifique no programa se estas variáveis estão associadas as variáveis de saídas Q10, Q11, Q12 ou Q13, e ajuste no menu **Data** a coleta de dados das variáveis correspondentes. Especifique uma amostragem de dados a cada 5 ciclos;

4. Entre no menu **Command**, vá para **Trajectory #1** e selecione **Step**. Ajuste um degrau com amplitude de **15000 counts**, **dwell time=2000 ms** e **1** (uma) repetição. Certifique-se que a opção **Unidirectional Move Only** esteja habilitada;
5. Selecione **Execute** no menu **Command** e em seguida **Trajectory #1 only**; depois plote (armazene) os resultados experimentais obtidos;
6. Tente fazer um ajuste do controlador PI&D iterativamente, verificando se é possível melhorar o desempenho obtido no projeto analítico;
7. Plote (exporte) a melhor resposta ao degrau obtida para os discos #1 e #2;
8. Entre no menu **Command** vá para **Trajectory #2** e selecione **Impulse**. Ajuste um impulso com **Amplitude = 20000 counts**, **Pulse Width = 1000 ms**, **Dwell Time = 1000 ms** e **2** repetições; selecione **Unidirectional Move Only**. Vá para **Trajectory #1** e selecione **Step**. Ajuste um degrau com amplitude de **0 counts**, **Dwell Time= 2000 ms** e **1** (uma) repetição.
9. Na opção **Command**, menu **Execute**, selecione **Execute Trajectory #1 first then Trajectory #2 with delay**, e faça esse atraso ser de **500 ms**. Em seguida execute com o botão **Run**. Plote (exporte) os resultados e observe o resultado da perturbação em cada disco;
10. Desloque os dois elementos manualmente e note a servo-rigidez estática relativa do elemento #2 sob a ação do controlador. Sendo  $G_1$  a f.t. em malha aberta entre a entrada de distúrbio ( $f_d$ ) e a saída ( $y_2$ ) e  $G_2$  as demais f.t.'s do *loop* de realimentação agrupadas, lembre-se que a servo-rigidez estática é definida por

$$S\text{-RE} = \left( \frac{Y_2(s)}{F_d(s)} \right)^{-1} \bigg|_{s=0} = \left( \frac{G_1(0)}{1 + G_1(0)G_2(0)} \right)^{-1}$$

### 3 Pré-relatório da Experiência 7

1. Obtenha a representação por variáveis de estado do sistema linear ou linearizado, da planta eletromecânica utilizada pelo seu grupo.
2. Utilize a rotina Matlab `ss` para gerar o modelo de estados correspondente. Ele será expresso pelas matrizes  $A$ ,  $B$ ,  $C$  e  $D$ , na forma padrão:

$$\dot{x} = Ax + Bu, \quad y = Cx + Du$$

3. Plote a resposta ao degrau das quatro variáveis de estado do sistema.
4. Teste a propriedade de controlabilidade do par de matrizes  $(A,B)$  utilizando a rotina Matlab `ctrb`.

## Referências

- [1] ECP. *Manual for Model 505 - Inverted Pendulum - Educational Control Products*, 1994.  
1.1
- [2] ECP. *Manual for Model 220 - Industrial Emulator/Servo Trainer - Educational Control Products*, 1995.
- [3] ECP. *Manual for Model 205/205a - Torsional Control System - Educational Control Products*, 1997.
- [4] ECP. *Manual for Model 210/210a - Rectilinear Control System - Educational Control Products*, 1998.
- [5] ECP. *Manual for Model 730 - Magnetic Levitation System - Educational Control Products*, 1999.
- [6] P. A. V. Ferreira. Introdução aos sistemas de controle. notas de aula. prof. Paulo Valente, FEEC-UNICAMP, 1999.
- [7] G.F. Franklin, J.D. Powell, and A. Emami-Naeini. *Feedback Control of Dynamic Systems*. Pearson Education Limited, 8th edition, 2020.
- [8] J.C. Geromel and R.H. Korogui. *Controle Linear de Sistemas Dinâmicos*. Blücher Ltda., 3rd edition, 2019.
- [9] J.C. Geromel and A.G.B. Palhares. *Análise Linear de Sistemas Dinâmicos*. Blücher Ltda., 3rd edition, 2011.
- [10] D.J. Higham and N.J. Higham. *MATLAB Guide*. Siam, 3rd edition, 2017.
- [11] The MathWorks Inc. *MATLAB and Simulink® Coverage™ User's Guide*. The MathWorks, Inc., 2022.
- [12] N.S. Nise. *Control System Engineering*. Wiley, 8th edition, 2019.
- [13] K. Ogata. *Engenharia de Controle Moderno*. Prentice Hall, 5th edition, 2010.